

Ni기 초내열합금, GTD-111 천이액상확산접합부의  
미세조직에 미치는 냉각속도의 영향  
Effect of Cooling rates on the Microstructure  
in TLP bonded interlayer between Ni-base Superalloy, GTD-111

\*이 회근, 이 봉근, 한 태교, 김 성준, 강 정윤

\* 부산대학교 재료공학과

## 1. 서 론

산업용 가스터빈의 버켓용 Ni기 초내열합금 GTD-111의 수리기술로서 천이액상확산접합법(Transient Liquid Diffusion Bonding Process, 이하 TLP접합법)이 각광받고 있다. 그러나 이 방법은 등온용고 원료까지 장시간이 소요되므로 접합시간을 단축할 수 있는 공정 개발이 필요하다.

특히 전년도 연구결과에 의해 1423K이상의 온도에서 GTD-111을 사용하여 TLP 접합시 텐드라이트 경계 및 결정입계에서 액화가 발생하여 액상삽입금속과 모재의 용해반응이 일어나 결정입계에 많이 존재하는 V'생성원소인 Ti과 Al이 접합부 및 결정입계에 다량으로 함유된다는 것을 알았다.<sup>1)</sup> 따라서 냉각속도를 제어한다면, 접합부에서 모재 텐드라이트 경계의 조직과 유사하게 V-V'공정반응이 일어나 단시간 접합이 가능할 것으로 예상된다.

따라서 본 연구에서는 TLP 접합법의 공정시간을 단축시키는 일환으로 TLP 접합 후 냉각속도를 변화 주었을 때 접합부 내 미세조직의 변화 확인하여 실적용 가능성을 검토하였다.

## 2. 실험방법

13.3mPa의 진공분위기의 고주파로를 사용하여 접합온도 1428K~1478K, 냉각속도 400~10K/min로 변화하였다. 삽입금속으로 아몰퍼스 합금인 MBF35 (Ni-7.3wt%Si-2.1wt%B)와 MBF50 (Ni-19.5wt%Cr-7.3wt%Si-1.5wt%B)을 사용하였다. 접합 후 13.3mPa의 진공분위기에서 1393K의 온도로 균질화열처리를, 접합부 내 V'체적율을 높게 하기 위하여 3단시효 처리<sup>2)</sup>를 실시하였다.

접합부의 미세조직 현출을 위해 시험편을 접합부에 수직하게 미세절단하여 연마한 후 화학에칭(Marble용액)과 전해에칭(10%과염소산알콜)하였다. 생성상 관찰은 OM 및 SEM으로, 성분분

석은 EDX, EPMA로 실시하였고, 접합부내 입계의 형성상황을 파악하기 위하여, EBSP로 모재 및 접합부의 결정방위 관계를 측정하였다.

## 3. 결과 및 고찰

Fig. 1은 삽입금속 MBF 35와 MBF 50을 사용하여 1453K의 온도에서 접합 후 냉각속도를 변화를 주어 나타난 접합부 광학현미경 사진이다. 400K/min(공냉)에서는 혼합상과 Cr계 보라이드로 보이는 상이 존재하고 이를 EDX 및 EPMA를 이용하여 상분석한 결과, 혼합상 내 V상과 (Cr,W,Mo)B, M(Ti,Ta)C 및 삽입금속 공정조직(Ni-NiSi), V'상(Ni-Al,Ti)이 존재하였다. 냉각속도가 느릴수록 혼합상은 감소하고 접합부내 V-V'공정상이 생성되었고 그 크기는 증가하다가 10K/min의 냉각속도에서 full V-V'공정상이 생성되었다. 반면 (Cr,W,Mo)B의 양은 Fig. 2와 같이 두개의 삽입금속 동일하게 감소하는 경향을 나타내었다.

Fig. 3은 MBF 50을 사용, 10K/min의 냉각속도로 접합한 시편의 접합부 근방의 대표적인 미세조직을 나타낸 것으로, A는 모재, B는 접합부와 모재의 경계, C는 접합부 내부의 V'상을 나타낸 것이고, 이 부분에 대한 EPMA 면분석 결과를 같이 나타내었다. 접합부의 V'상의 형상은 모재와 다른 형상을 하고 있고, 체적률도 높은 것을 알 수 있다. V'상의 형상은 Ti과 Al의 농도비에 따라서 달라지는 것으로 알려져 있고, 분석결과 접합부가 모재에 비하여 Ti 및 Si 농도가 아주 높고, Al의 농도가 낮기 때문에 형상이 다른 것으로 생각된다.

Fig. 4는 A, B, C 영역에 대하여 EBSP로 결정방위 관계를 조사한 것으로 TD, LD, ND 방향의 결정방위를 해석하여 각각의 방위차를 표로 나타내었다. 이것으로부터 양 모재의 결정방위는 0.3~0.6°의 차이가 있고, 접합부와 모재의 결정방위는 TD 1.4~7.9°, LD 1.9~2.1°, ND 7.1~

7.7°의 차이가 있다. 즉 접합부와 모재의 결정 방위는 최대 7.9°의 차이가 있다. 이것은 공정상과 기지의 결정 방위 차이로 생각되며 접합부내 새로운 입계가 형성되어 있지 않다는 것을 알 수 있다.

Fig. 5은 MBF50을 사용, 1453K로 가열한 후, 10K/min의 냉각속도로 접합한 후, 1393K에서 균질화열처리한 경우, 유지시간에 따른 접합부내의  $\gamma'$ 상의 변화를 나타낸 것이다. 모재는 유지 시간이 길어짐에 따라서 cube형상으로 변화하고, 체적율도 증가하고 있으며, 접합부는 10hr에서 cube 형상과 유사한 형상으로 변화하지만, 30hr에서는 조대화 되는 경향이 있음을 알 수 있다. Fig. 6은 열처리시간에 따른 접합부 내에 존재하는 Cr계화합물량의 변화를 정량한 것이다. 유지 시간이 증가함에 따라서 감소하여 접합 후 Cr계화합물이 많이 존재하는 MBF35(2.1%B)은 30hr에, Cr계화합물량이 적은 MBF50(1.5%B)은 20hr에서 소멸함을 알 수 있다.

Fig. 7은 MBF50을 사용하여 접합한 시편에 대하여 1393K × 30hr 균질화 열처리를 행한 후, 3단 시효한 경우, 모재와 접합부의 미세조직을 나타낸 것이고, Fig. 8은  $\gamma'$ 상 분율을 나타낸 것이다. 여기서 기존 TLP접합법을 적용한 것은 1423K × 7.2K 동안 유지한 후, 공냉하여 접합한 것으로 열처리조건은 동일하다. 모재와 기존 접합법으로 접합한 것과 비교하여 새로운 접합법의 접합부 내  $\gamma'$ 상의 체적은 높고, 크기가 큰 것을 알 수 있다.

#### 4. 결 론

Ni기 초내열합금, GTD-111 천이액상화산접합부의 미세조직에 미치는 냉각속도의 영향을 확인하고, 최적조건에서 균질화처리 및 시효처리를 행하여 다음과 같은 결과를 확인하였다.

1. 400K/min(공냉)의 경우 혼합상과 Cr계화합물이 존재하였으나 냉각속도가 느릴수록  $\gamma$ - $\gamma'$ 공정상이 생성되고 그 양은 증가하여 10K/min에서 접합부 내 full  $\gamma$ - $\gamma'$  공정을 얻을 수 있었다. 그리고 Cr계화합물량도 냉각속도가 느릴수록 감소되었다.

2. 접합온도 1453K, 냉각속도 10K/min으로 접합한 시편을 균질화열처리를 실시한 결과 접합부 내  $\gamma'$ 은 10hr에서 cube형으로 변화하였고 30hr에서 조대화되는 경향이 있다. Cr계화합물은 MBF35의 경우 30hr, MBF50의 경우 20hr에서 소멸되었다.

3. 접합온도 1453K, 냉각속도 10K/min의 조건으로 접합한 시편을 3단 시효처리를 한 결과, 접합부 내  $\gamma'$ 상의 체적은 모재와 기존 접합법으로 접합한 것과 비교하여 높지만, 크기가 큰 것을 알 수 있다.

#### 참고문헌

1. 강정윤, 황형철 ; “일방향옹고 Ni기초내열합금 GTD-111의 천이액상화산접합(II)”, 대한용접학회지 제2권1제2호, P89
2. 강정윤, 황형철 ; “일방향옹고 Ni기초내열합금 GTD-111의 천이액상화산접합(III)”, Journal of KWS, Vol. 21, No. 3. P78

Table 1 Chemical compositions of base metal

Cr	Co	Ti	Al	Mo	W	Ta	Fe	Mn	Si	C	Cu	B	Ni
14	9.5	4.9	3.0	1.5	3.8	2.8	0.5	0.2	0.3	0.1	0.1	0.012	bal.

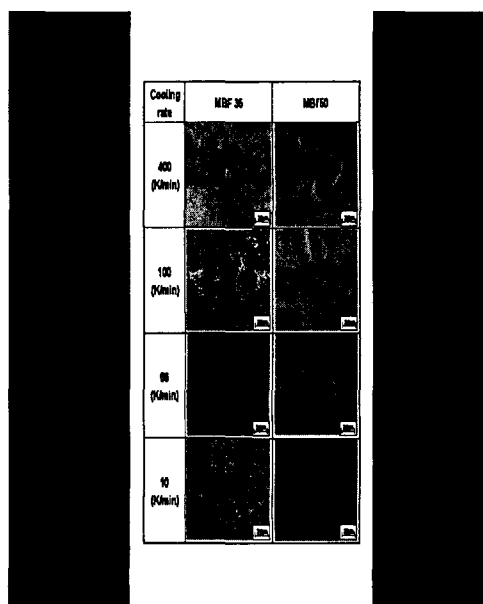


Fig. 1 Change of microstructures in the bonded interlayer with cooling rate

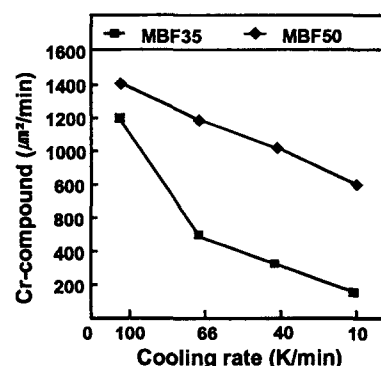


Fig. 2 Change of Cr compounds content in the bonded interlayer with cooling rates  
(MBF50, 10K/min)

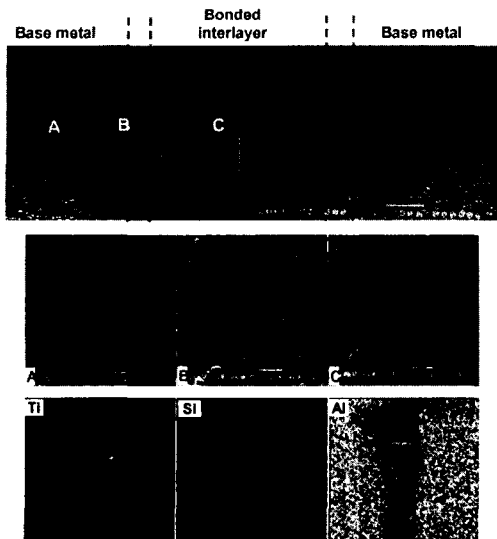


Fig. 3 Comparison of  $\gamma'$  shape and EPMA results in the joints and the base metal  
(MBF50, 10K/min)

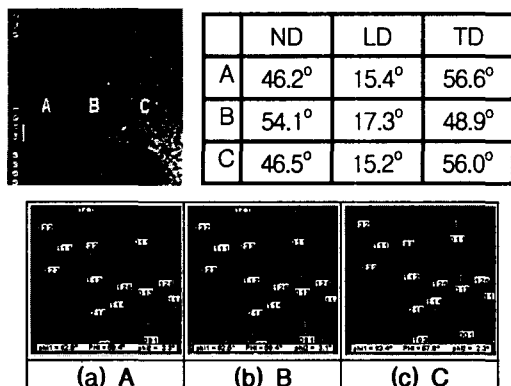


Fig. 4 Comparison of EBSP results in the joints and the base metal (MBF50, 10K/min)

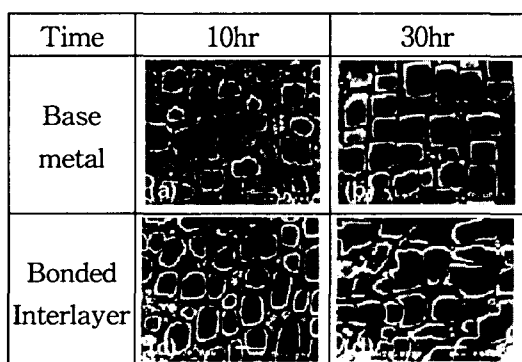


Fig. 5 Change of  $\gamma'$  shape in joints and base metal with homogenization times

(MBF50, 10K/min)

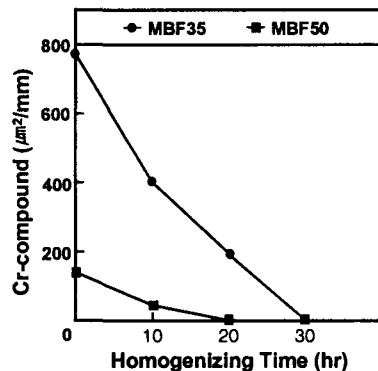


Fig. 6 Change of Cr compound content in the joints with homogenization time

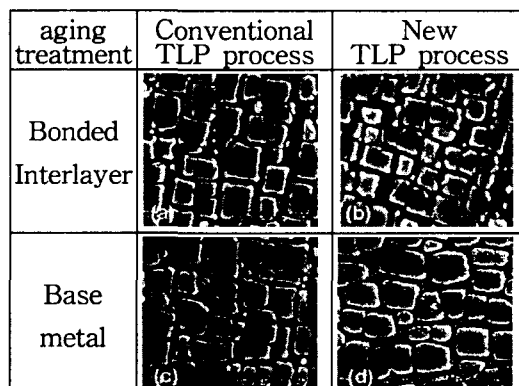


Fig. 7 Comparison of microstructures in conventional and new TLP bonding process with aging treatment

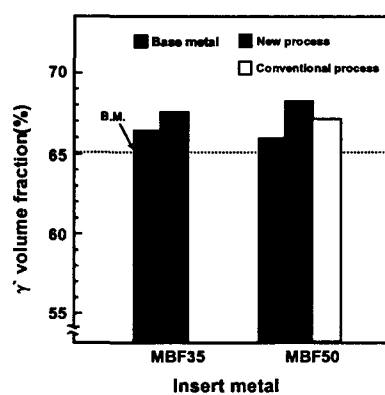


Fig. 8 Comparison of  $\gamma'$  volume fraction with aging treatment